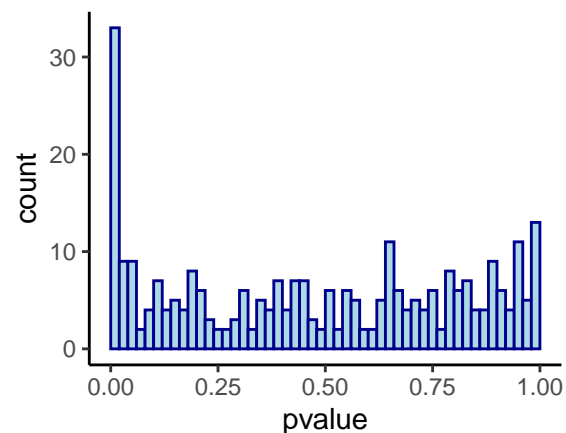
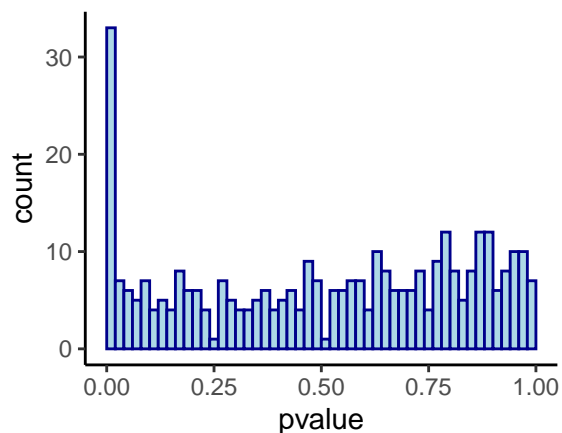


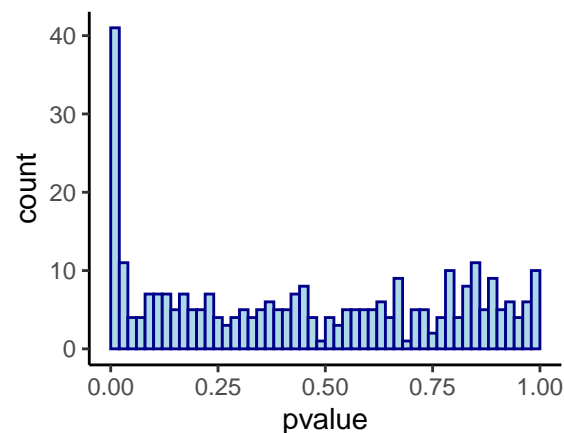
Yazar_2022: B IN
CSeQTL: B
pi_0: 0.98



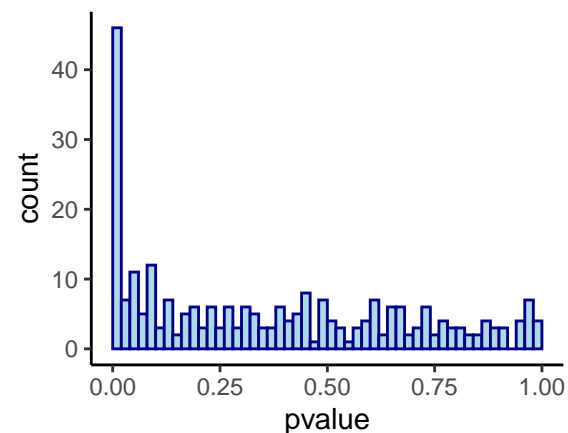
Yazar_2022: B IN
CSeQTL: CD4T
pi_0: 1



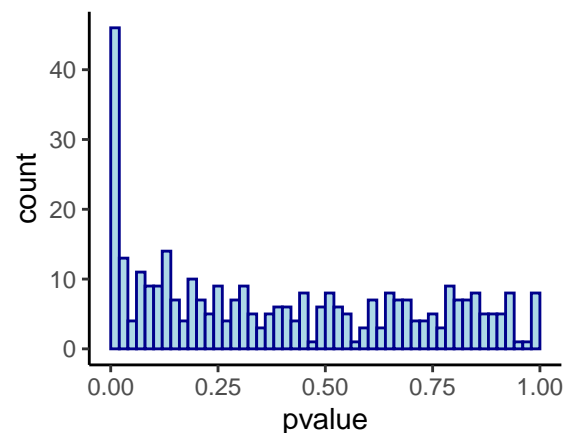
Yazar_2022: B IN
CSeQTL: CD8T
pi_0: 0.9



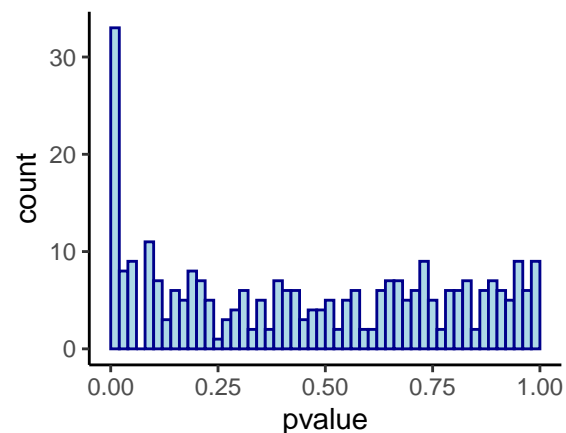
Yazar_2022: B IN
CSeQTL: Monocyte
pi_0: 0.67



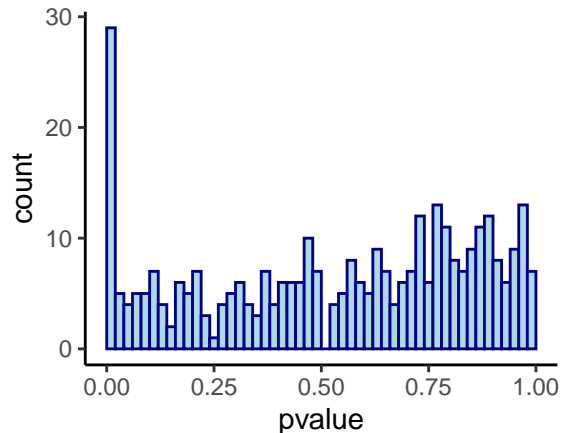
Yazar_2022: B IN
CSeQTL: NK
pi_0: 0.78



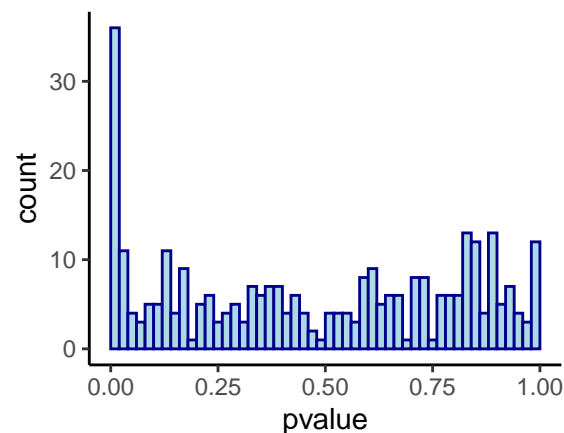
Yazar_2022: B Mem
CSeQTL: B
pi_0: 0.94



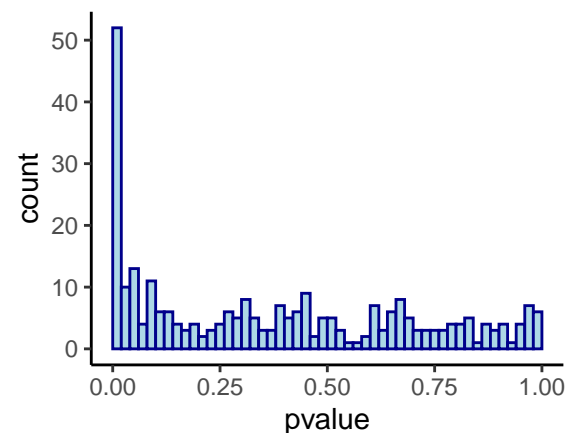
Yazar_2022: B Mem
CSeQTL: CD4T
pi_0: 1



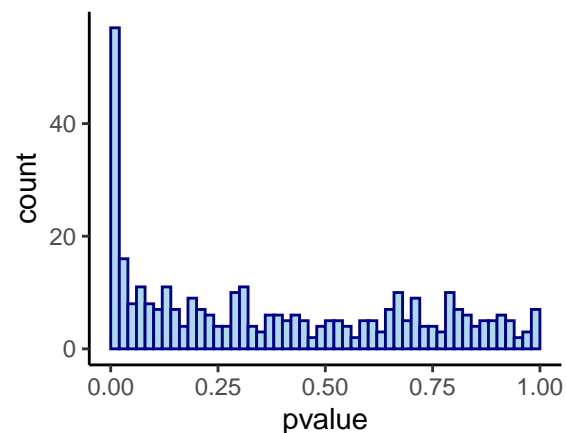
Yazar_2022: B Mem
CSeQTL: CD8T
pi_0: 1



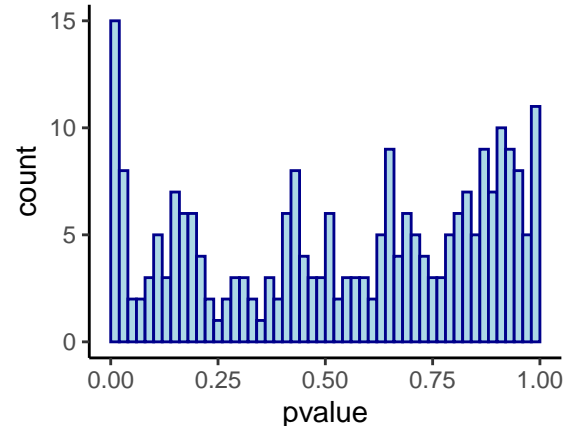
Yazar_2022: B Mem
CSeQTL: Monocyte
pi_0: 0.68



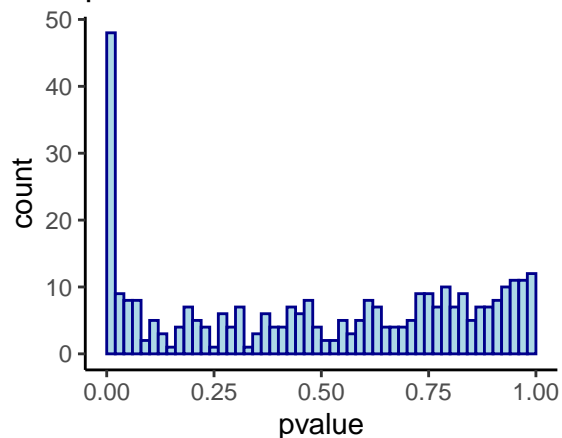
Yazar_2022: B Mem
CSeQTL: NK
pi_0: 0.74



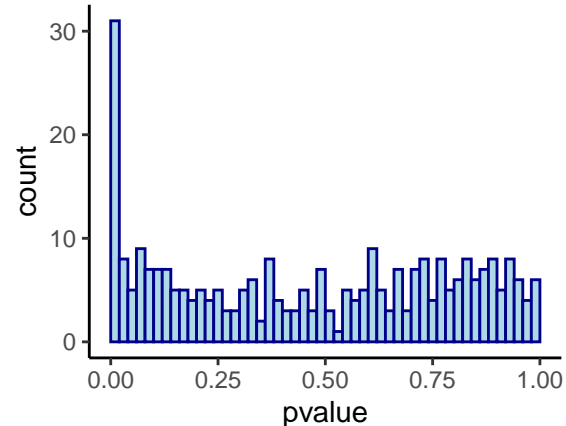
Yazar_2022: CD4 NC
CSeQTL: B
pi_0: 1



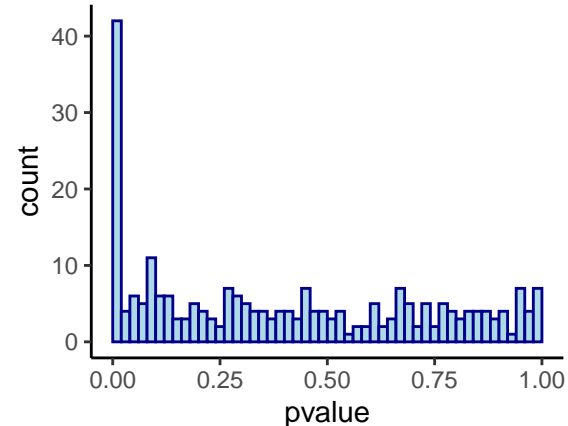
Yazar_2022: CD4 NC
CSeQTL: CD4T
pi_0: 1



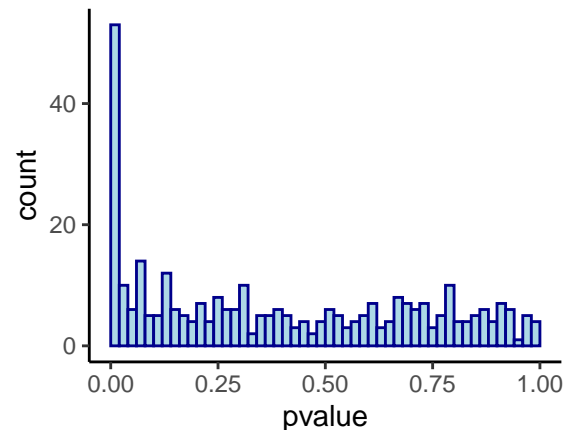
Yazar_2022: CD4 NC
CSeQTL: CD8T
pi_0: 0.96



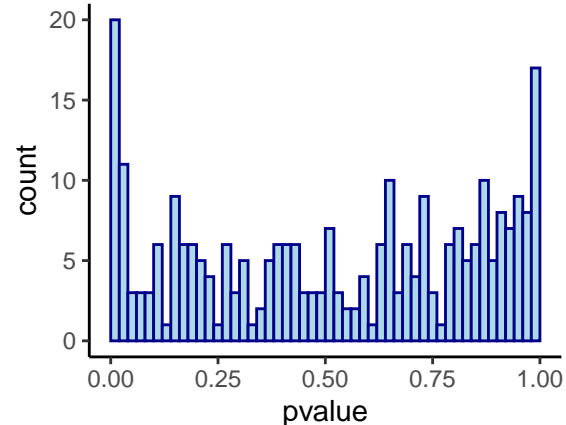
Yazar_2022: CD4 NC
CSeQTL: Monocyte
pi_0: 0.75



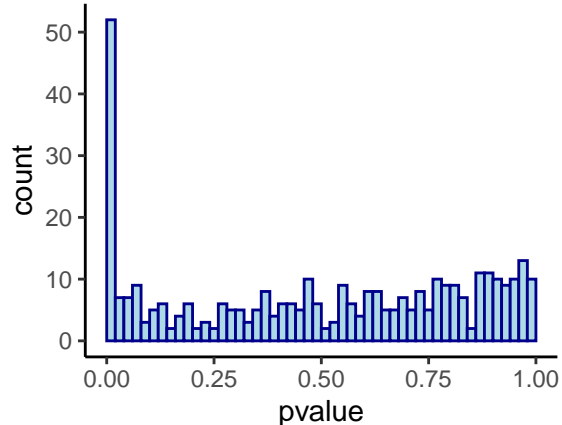
Yazar_2022: CD4 NC
CSeQTL: NK
pi_0: 0.79



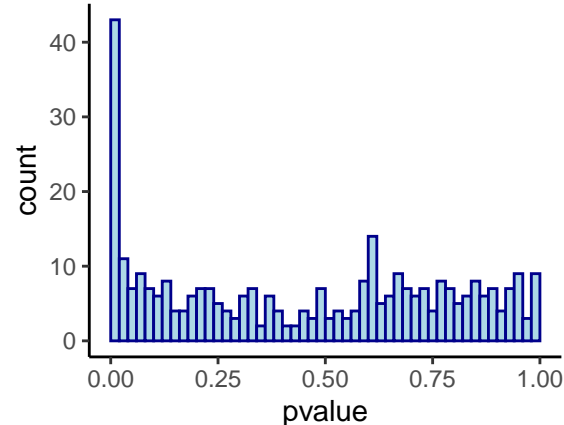
Yazar_2022: CD4 ET
CSeQTL: B
pi_0: 1



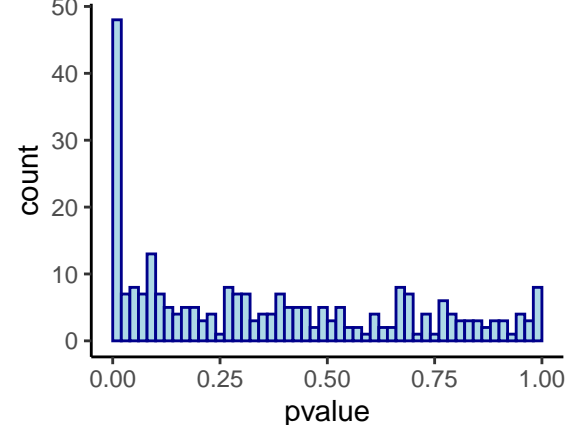
Yazar_2022: CD4 ET
CSeQTL: CD4T
pi_0: 1



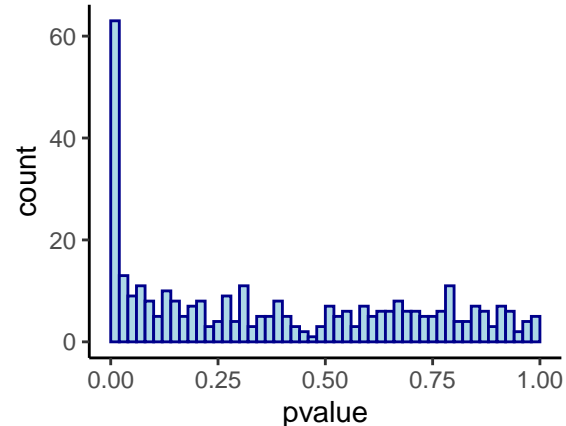
Yazar_2022: CD4 ET
CSeQTL: CD8T
pi_0: 0.95



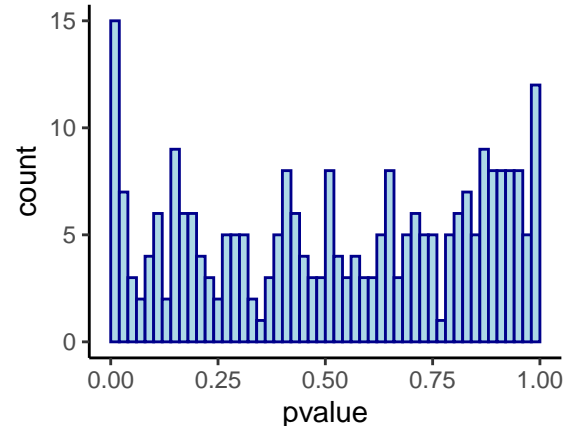
Yazar_2022: CD4 ET
CSeQTL: Monocyte
pi_0: 0.64



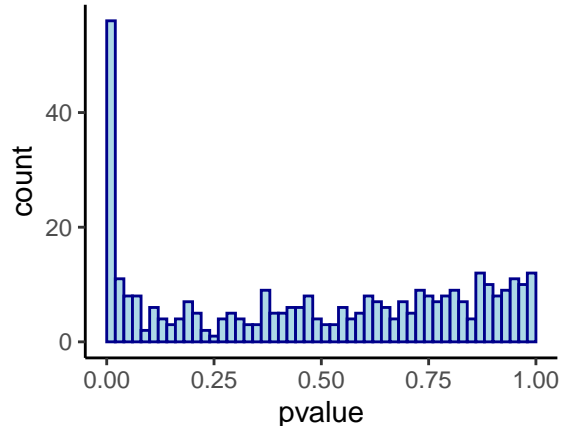
Yazar_2022: CD4 ET
CSeQTL: NK
pi_0: 0.79



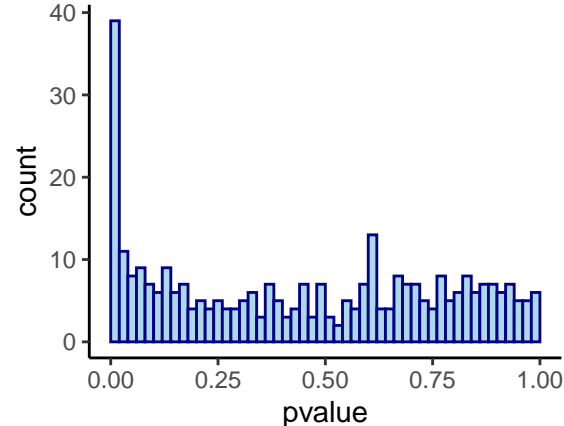
Yazar_2022: CD8 NC
CSeQTL: B
pi_0: 1



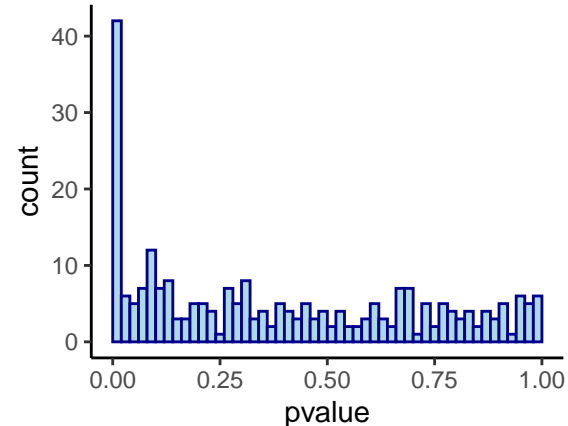
Yazar_2022: CD8 NC
CSeQTL: CD4T
pi_0: 1



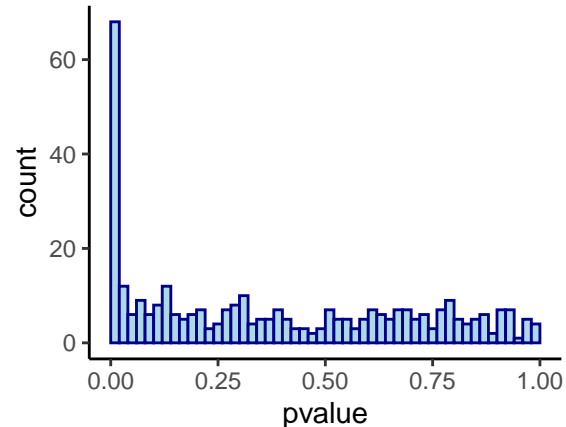
Yazar_2022: CD8 NC
CSeQTL: CD8T
pi_0: 0.91



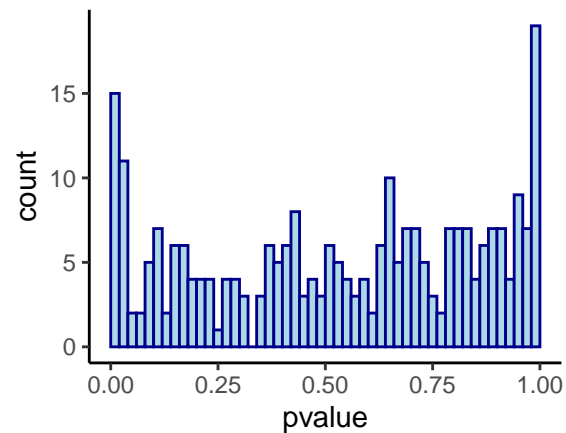
Yazar_2022: CD8 NC
CSeQTL: Monocyte
pi_0: 0.73



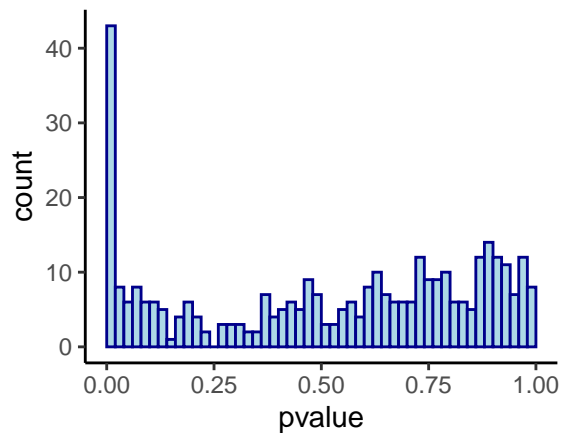
Yazar_2022: CD8 NC
CSeQTL: NK
pi_0: 0.77



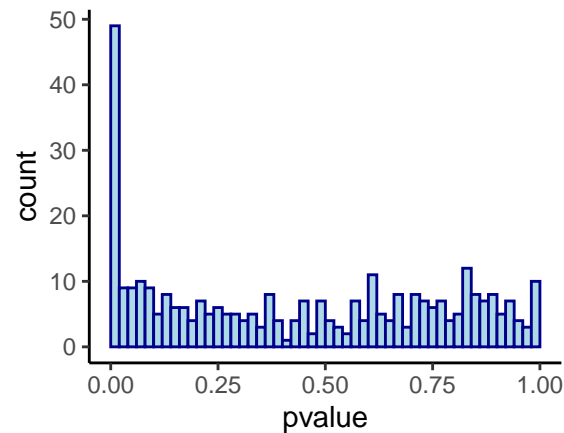
Yazar_2022: CD8 ET
CSeQTL: B
pi_0: 1



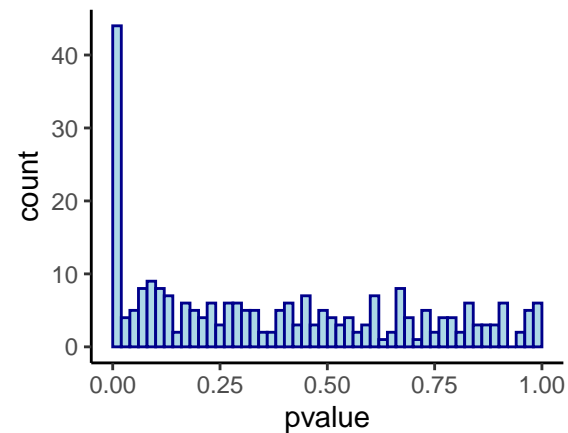
Yazar_2022: CD8 ET
CSeQTL: CD4T
pi_0: 1



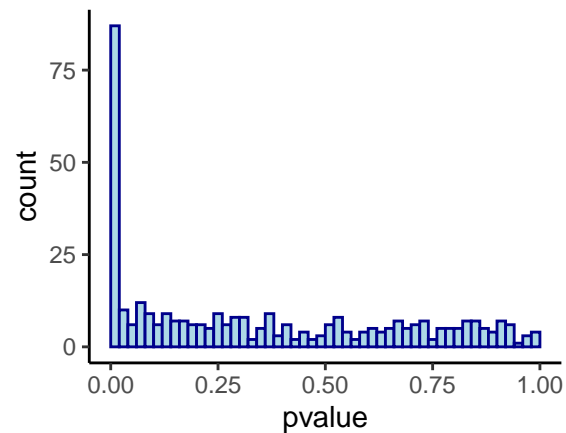
Yazar_2022: CD8 ET
CSeQTL: CD8T
pi_0: 0.89



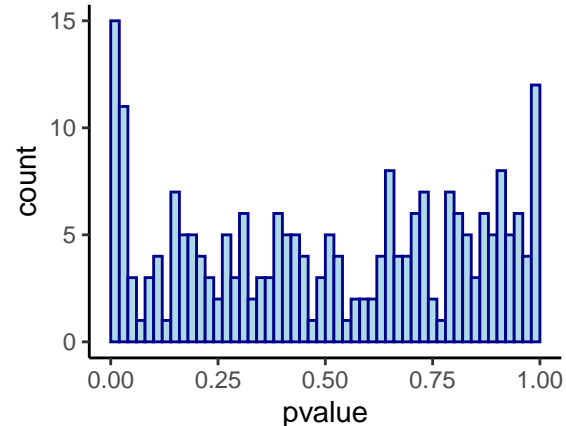
Yazar_2022: CD8 ET
CSeQTL: Monocyte
pi_0: 0.7



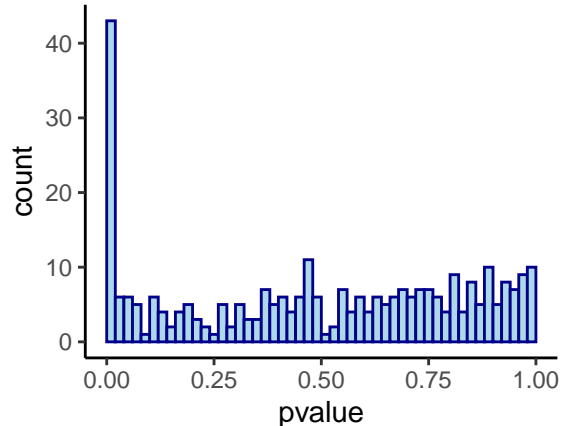
Yazar_2022: CD8 ET
CSeQTL: NK
pi_0: 0.69



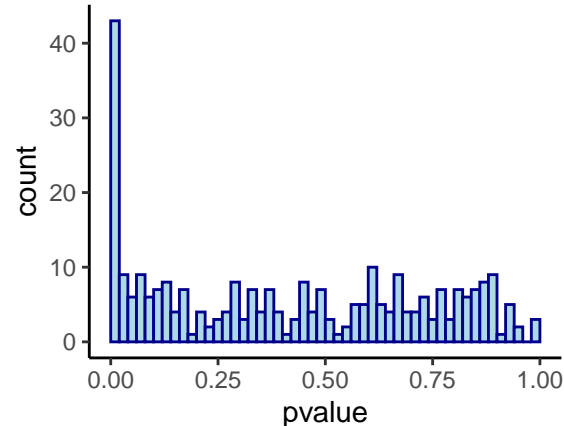
Yazar_2022: CD8 S100B
CSeQTL: B
pi_0: 1



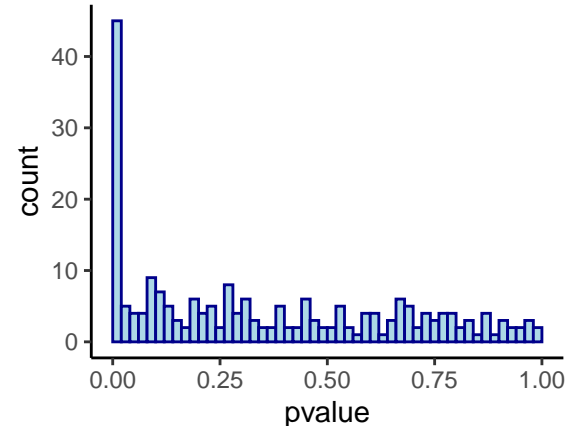
Yazar_2022: CD8 S100B
CSeQTL: CD4T
pi_0: 1



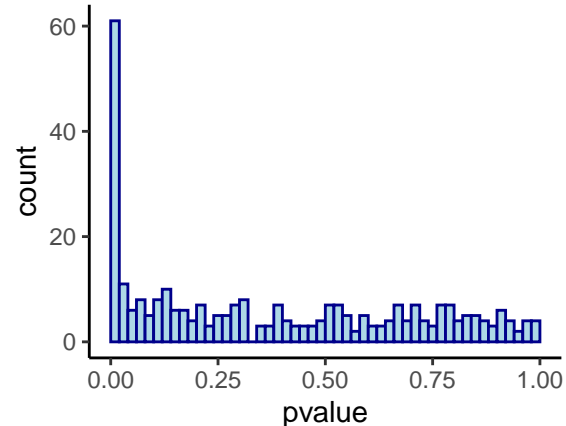
Yazar_2022: CD8 S100B
CSeQTL: CD8T
pi_0: 0.83



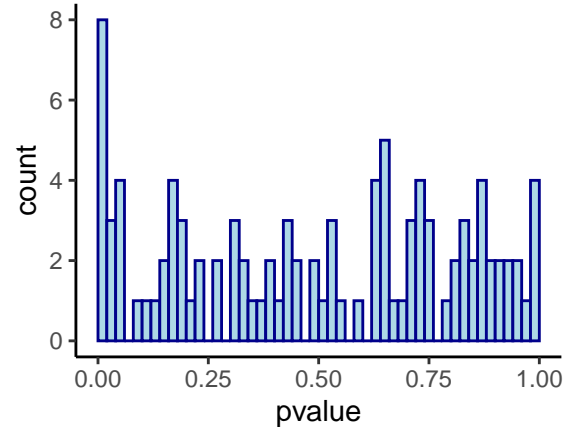
Yazar_2022: CD8 S100B
CSeQTL: Monocyte
pi_0: 0.67



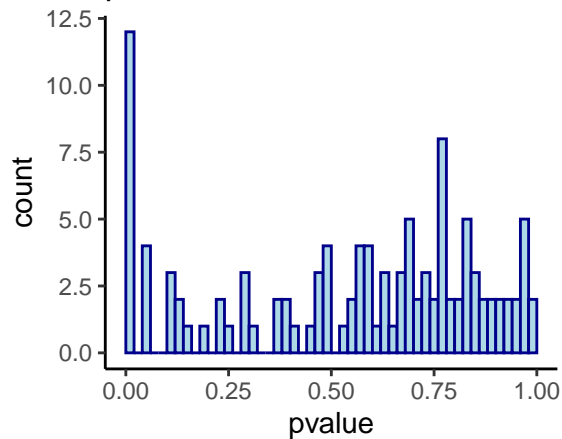
Yazar_2022: CD8 S100B
CSeQTL: NK
pi_0: 0.76



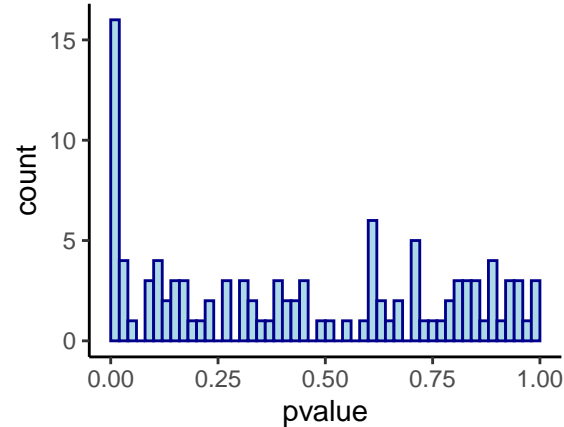
Yazar_2022: DC
CSeQTL: B
pi_0: 1



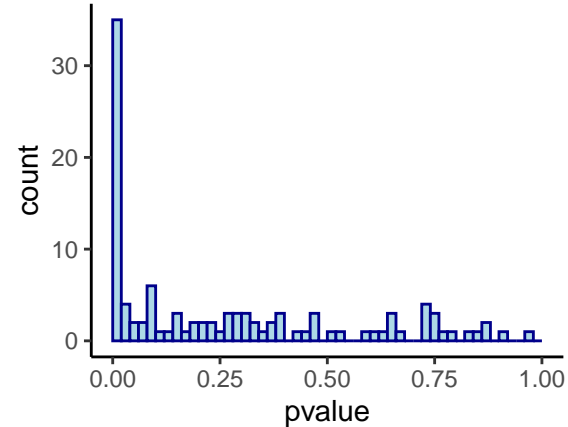
Yazar_2022: DC
CSeQTL: CD4T
pi_0: 1



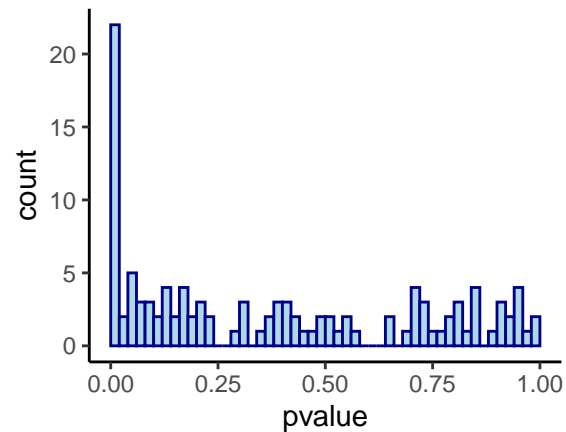
Yazar_2022: DC
CSeQTL: CD8T
pi_0: 0.89



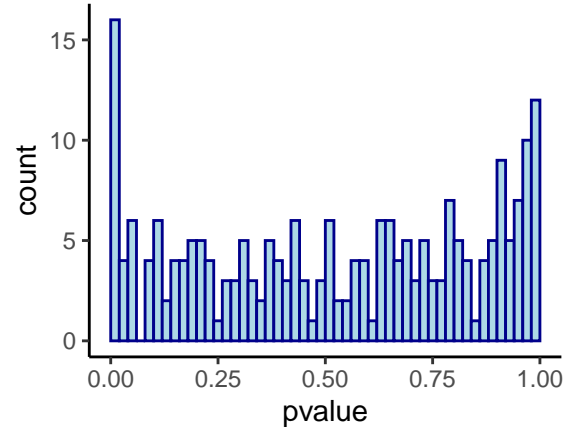
Yazar_2022: DC
CSeQTL: Monocyte
pi_0: 0.44



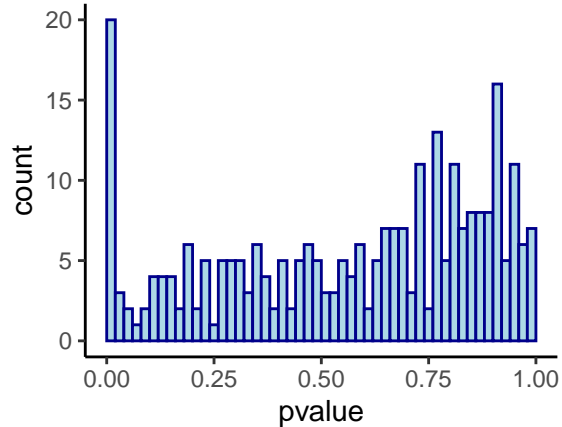
Yazar_2022: DC
CSeQTL: NK
pi_0: 0.72



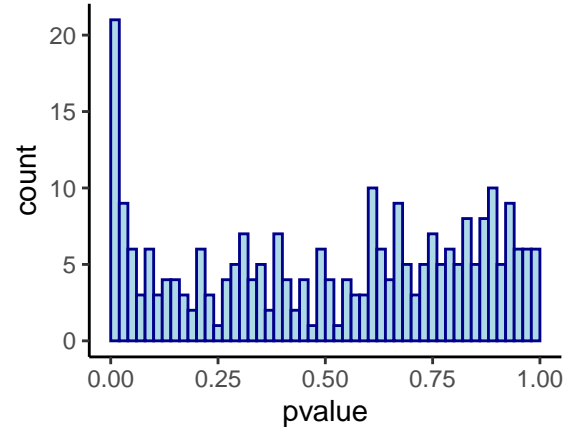
Yazar_2022: Mono C
CSeQTL: B
pi_0: 1



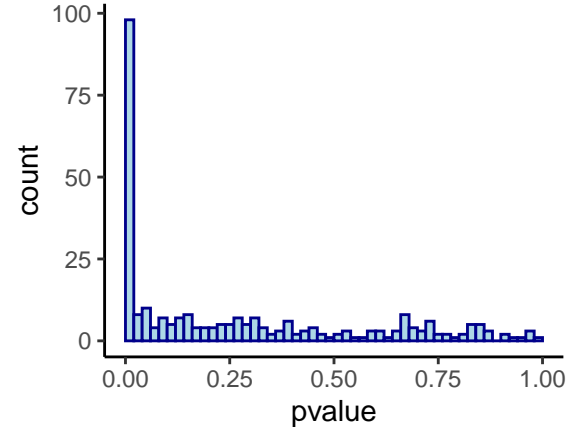
Yazar_2022: Mono C
CSeQTL: CD4T
pi_0: 1



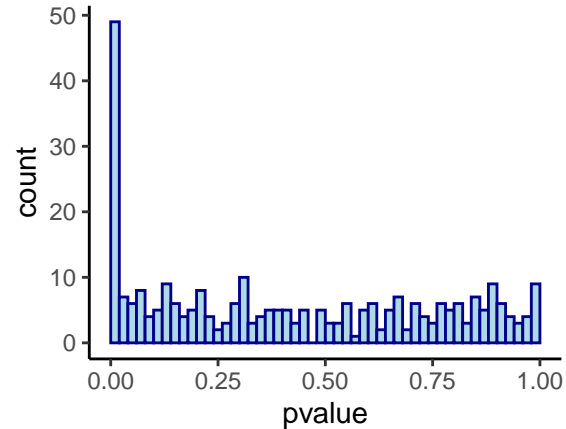
Yazar_2022: Mono C
CSeQTL: CD8T
pi_0: 1



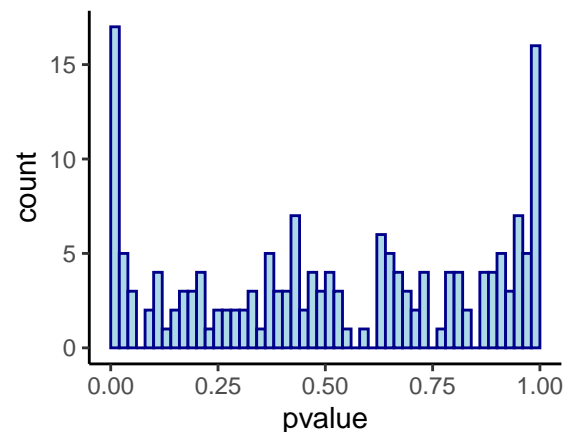
Yazar_2022: Mono C
CSeQTL: Monocyte
pi_0: 0.47



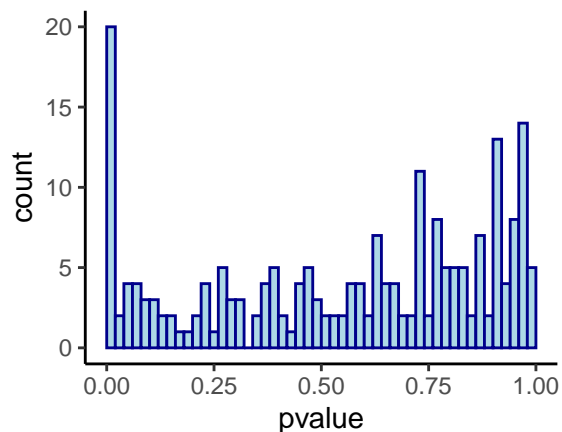
Yazar_2022: Mono C
CSeQTL: NK
pi_0: 0.82



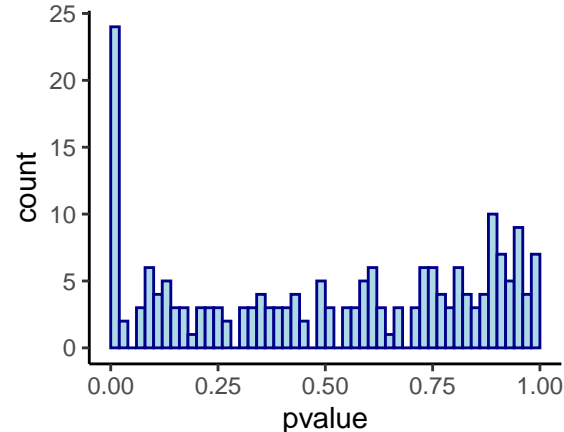
Yazar_2022: Mono NC
CSeQTL: B
pi_0: 1



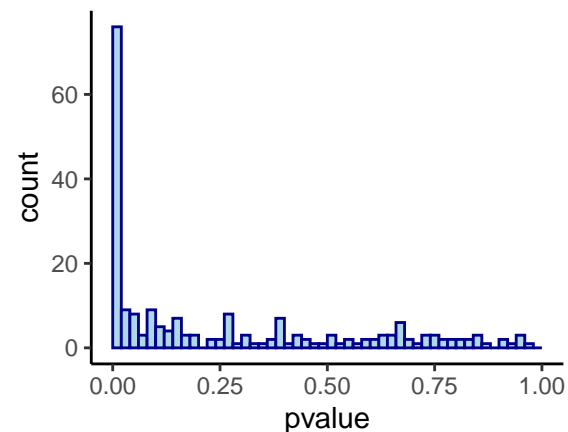
Yazar_2022: Mono NC
CSeQTL: CD4T
pi_0: 1



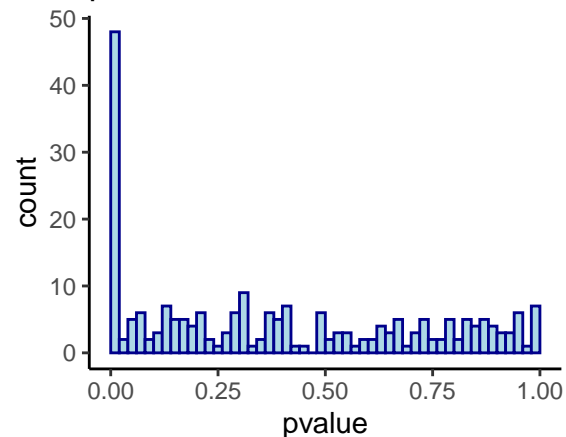
Yazar_2022: Mono NC
CSeQTL: CD8T
pi_0: 1



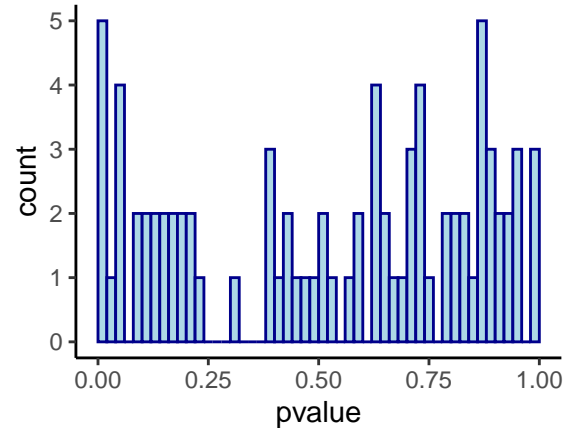
Yazar_2022: Mono NC
CSeQTL: Monocyte
pi_0: 0.48



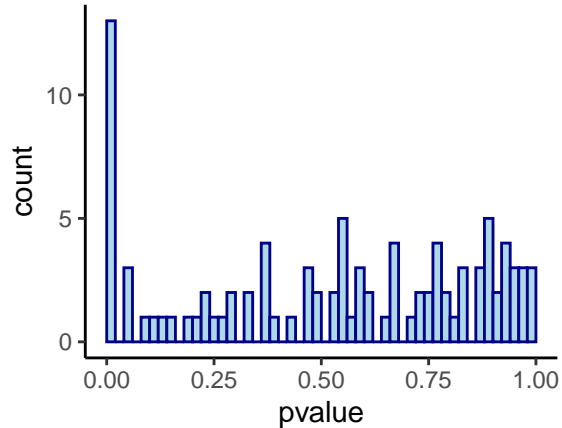
Yazar_2022: Mono NC
CSeQTL: NK
pi_0: 0.73



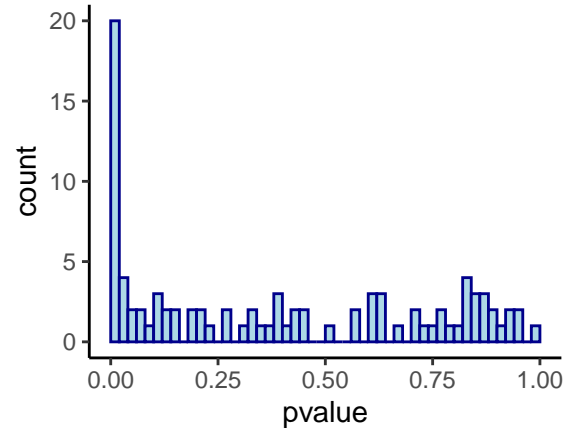
Yazar_2022: NK R
CSeQTL: B
pi_0: 1



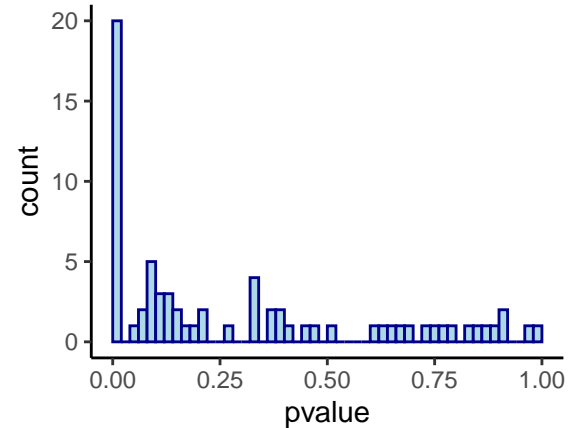
Yazar_2022: NK R
CSeQTL: CD4T
pi_0: 1



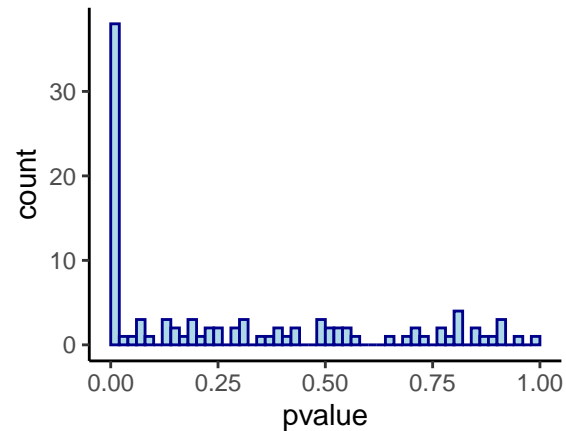
Yazar_2022: NK R
CSeQTL: CD8T
pi_0: 0.78



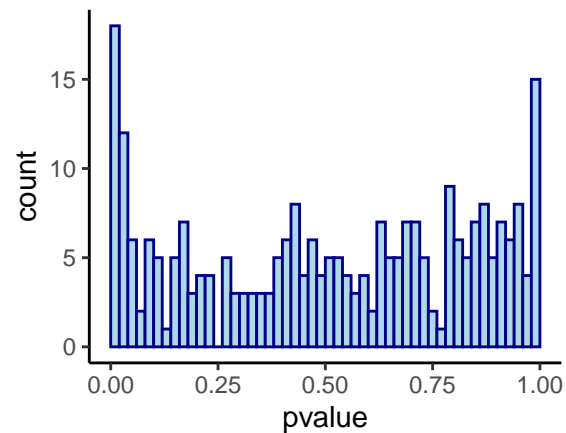
Yazar_2022: NK R
CSeQTL: Monocyte
pi_0: 0.51



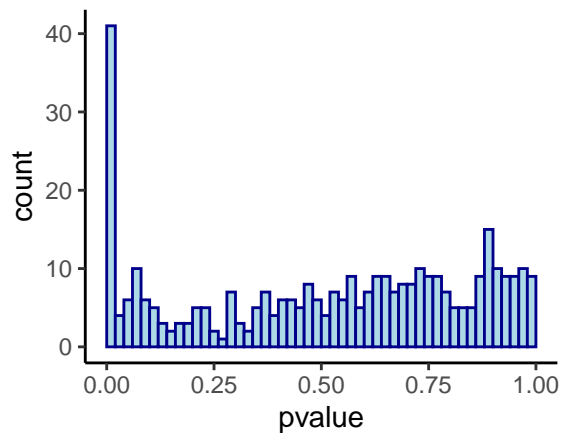
Yazar_2022: NK R
CSeQTL: NK
pi_0: 0.55



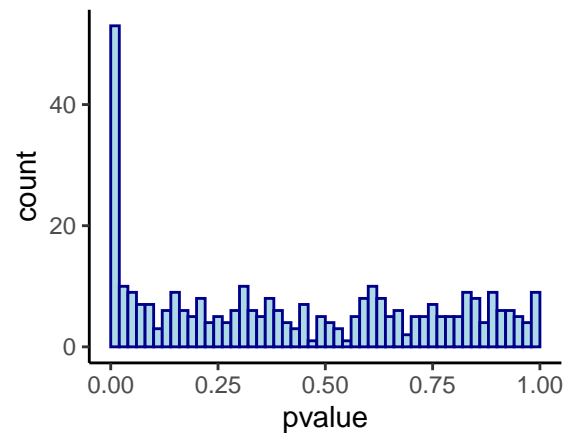
Yazar_2022: NK
CSeQTL: B
pi_0: 1



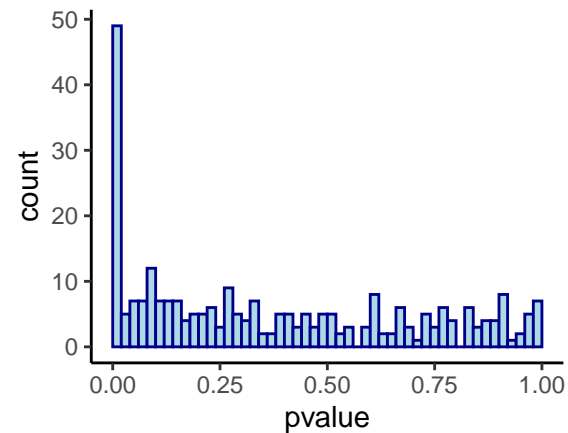
Yazar_2022: NK
CSeQTL: CD4T
pi_0: 1



Yazar_2022: NK
CSeQTL: CD8T
pi_0: 0.84



Yazar_2022: NK
CSeQTL: Monocyte
pi_0: 0.68



Yazar_2022: NK
CSeQTL: NK
pi_0: 0.62

